

# Rede Generativa Adversarial Quântica Semi-Supervisionada (sQGAN) para Detecção de Ataques

Diego Abreu<sup>1</sup>, David Moura<sup>2</sup>, Christian Rothenberg<sup>2</sup>, Antônio Abelém<sup>1</sup>

<sup>1</sup> Universidade Federal do Pará - UFPA

<sup>2</sup>Universidade Estadual de Campinas - Unicamp

**Abstract.** *The evolution of cybersecurity threats demands efficient and accurate attack detection systems, yet the scarcity of labeled data limits the use of conventional supervised models. This paper proposes a Semi-Supervised Quantum Generative Adversarial Network (sQGAN) for attack detection, combining semi-supervised learning with quantum adversarial architectures to leverage labeled and unlabeled data for improved detection in data-scarce scenarios. Key contributions include (1) a semi-supervised quantum architecture effective with limited labeled data, (2) integration of quantum-based generator and discriminator networks to enhance attack detection, and (3) an experimental study comparing sQGAN's performance with quantum architectures. Results indicate that sQGAN offers a high F1 score and robustness in detecting attacks under challenging labeling conditions.*

**Resumo.** *A evolução das ameaças cibernéticas exige sistemas de detecção de ataques eficientes e precisos, mas a escassez de dados rotulados limita o uso de modelos supervisionados convencionais. Este artigo propõe a Rede Generativa Adversarial Quântica Semi-Supervisionada (sQGAN) para detecção de ataques, que combina aprendizado semi-supervisionado com arquiteturas adversárias quânticas, aproveitando dados rotulados e não rotulados para melhorar a detecção em cenários de dados escassos. As principais contribuições incluem (1) uma arquitetura quântica semi-supervisionada eficaz com poucos dados rotulados, (2) integração de redes geradoras e discriminativas quânticas para aprimorar a detecção de ataques e (3) um estudo experimental comparando o desempenho da sQGAN com arquiteturas quânticas. Os resultados mostram que a sQGAN oferece F1 score significativo e robustez para detecção de ataques em condições adversas de rotulagem.*

## 1. Introdução

A segurança cibernética tem se tornado uma prioridade essencial no atual cenário digital, impulsionada pela crescente sofisticação e frequência de ataques cibernéticos. Um dos principais desafios na detecção de ameaças é a escassez de dados rotulados para treinar modelos supervisionados [Lim et al. 2024]. Grande parte dos dados disponíveis não é rotulada, o que pode limitar a aplicabilidade de técnicas tradicionais de Aprendizado Supervisionado e comprometer a precisão na identificação de atividades maliciosas [Idhammad et al. 2018]. Assim, torna-se fundamental desenvolver soluções capazes de lidar com essa limitação, proporcionando modelos eficientes mesmo em cenários de baixa rotulagem de dados.

As Redes Generativas Adversariais Semi-Supervisionadas (*Semi Supervised Generative Adversarial Networks* - sGANs) [Odena 2016] surgem como uma alternativa promissora para esse problema, ao combinar a geração de dados sintéticos com Aprendizado Semi-Supervisionado. Essa combinação permite que os modelos aprendam a partir de uma quantidade limitada de rótulos, aproveitando informações contidas em dados não rotulados para melhorar a capacidade de generalização [Yang et al. 2022]. No entanto, a arquitetura tradicional das GANs pode não ser suficiente para capturar a complexidade de padrões anômalos em dados de segurança cibernética [Mvula et al. 2023].

Com o avanço da Computação Quântica, novos métodos têm explorado a capacidade dos sistemas quânticos de representar e processar informações de forma diversificada, possibilitando a aplicação em problemas complexos como a detecção de ataques [Abreu et al. 2024a]. Redes Adversariais Quânticas (*Quantum Adversarial Networks* - QGANs) trazem uma nova perspectiva à análise de dados, oferecendo potencial para uma representação mais diversificada dos padrões nos dados [Nicesio et al. 2023]. Baseando-se nessa premissa, este trabalho propõe o sQGAN, uma Rede Generativa Adversarial Quântica Semi-Supervisionada, voltada para detecção de ataques cibernéticos. A proposta combina Aprendizado Semi-Supervisionado com modelos generativos e discriminativos quânticos, explorando os benefícios de ambas as abordagens.

Dentre as contribuições deste trabalho, destacam-se três pontos principais: (1) a proposição de uma arquitetura quântica semi-supervisionada que possibilita aprendizado eficaz mesmo em cenários com dados rotulados limitados, (2) a utilização de redes geradoras e discriminativas quânticas para aprimorar a identificação de ataques, e (3) um estudo experimental que avalia a eficácia da proposta em diferentes arquiteturas quânticas. O artigo está estruturado da seguinte forma: a Seção 2 apresenta a fundamentação teórica, com um panorama das Redes Generativas Adversariais, incluindo modelos semi-supervisionados e quânticos. A Seção 3 discute os trabalhos relacionados. A Seção 4 detalha a arquitetura da sQGAN e seus componentes. A Seção 5 descreve o estudo de caso, enquanto a Seção 6 apresenta e analisa os resultados experimentais. Por fim, a Seção 7 conclui o trabalho, destacando as contribuições gerais e propondo direções para pesquisas futuras.

## 2. Fundamentação Teórica

Nesta seção, são apresentados os fundamentos teóricos que embasam a proposta. Discutem-se os conceitos relacionados às Redes Generativas Adversariais e sua variação semi-supervisionada. Além disso, são explorados tópicos fundamentais sobre Aprendizado de Máquina Quântico, bem como as adaptações das GANs no contexto quântico.

### 2.1. Redes Generativas Adversariais

As Redes Generativas Adversariais são modelos de Aprendizado Profundo que utilizam uma estrutura composta por duas redes neurais, uma geradora e uma discriminativa, em um sistema de competição [de Araujo-Filho et al. 2023]. A rede geradora,  $G$ , recebe como entrada um vetor de ruído aleatório e é treinada para produzir dados sintéticos que se assemelham aos dados reais. Em contraste, a rede discriminativa,  $D$ , é treinada para distinguir entre os dados reais e os dados gerados, classificando-os como reais ou falsos. O objetivo de  $G$  é maximizar as chances de  $D$  classificar suas amostras geradas como

reais, enquanto  $D$  busca minimizar os erros de classificação. Esse processo configura um jogo *minimax* entre  $G$  e  $D$ , no qual ambas as redes se aprimoram mutuamente ao longo do treinamento. O treinamento de uma GAN é formulado como uma função de perda de *minimax* na Equação 1.

$$\min_G \max_D \mathbb{E}_{x \sim p_{\text{dados}}} [\log D(x)] + \mathbb{E}_{z \sim p(z)} [\log (1 - D(G(z)))] \quad (1)$$

Na Equação 1,  $x$  representa as amostras reais,  $z$  é uma variável de ruído amostrada a partir de uma distribuição pré-definida  $p(z)$ , e  $G(z)$  gera dados sintéticos. Durante o treinamento,  $D$  é atualizado para maximizar sua capacidade de distinguir entre amostras reais e geradas, enquanto  $G$  é atualizado para minimizar sua capacidade de ser detectado por  $D$ .

As GANs tradicionais são modelos puramente não supervisionados, o que pode limitar sua aplicabilidade em tarefas onde a presença de dados rotulados pode melhorar a performance do modelo. De outro modo, as GANs Semi-Supervisionadas (sGANs) utilizam uma quantidade limitada de dados rotulados para orientar o treinamento, ampliando significativamente o escopo de aplicação das GANs [Sajun and Zulkernan 2022].

## 2.2. GANs Semi-Supervisionadas

A arquitetura de GANs semi-supervisionadas estende o modelo padrão de GANs ao adicionar uma camada de classificação no discriminador para lidar com dados rotulados e não rotulados simultaneamente. No modelo semi-supervisionado, o discriminador  $D$  é projetado para classificar as amostras em uma das  $N + 1$  classes, onde  $N$  representa as classes reais dos dados rotulados e a classe adicional representa amostras geradas, ou "falsas".

Formalmente, dado um conjunto de dados  $x$  que pertence a uma das classes reais  $y \in \{1, \dots, N\}$  ou à classe gerada, o objetivo do discriminador  $D$  é maximizar a probabilidade  $p(y|x)$ , onde  $y = N + 1$  indica que a amostra é gerada pelo gerador  $G$ . Assim, o discriminador combina um classificador multiclasse para amostras reais e uma classificação binária (real/falso) para distinguir dados gerados de dados reais. Para otimizar o treinamento, a função de perda do discriminador é dividida em duas partes: a perda binária não supervisionada ( $L_{\text{binária}}$ ) e a perda multiclasse supervisionada ( $L_{\text{multiclasse}}$ ). A perda binária é utilizada para diferenciar entre amostras reais e falsas, como apresenta a Equação 2, onde  $p_{\text{dados}}$  representa a distribuição dos dados reais e  $G$  a do gerador.

$$L_{\text{binária}} = -\mathbb{E}_{x \sim p_{\text{dados}}} \log D(y = \text{real} \mid x) - \mathbb{E}_{x \sim G} \log D(y = \text{falso} \mid x) \quad (2)$$

A perda multiclasse supervisionada é utilizada para classificar corretamente as amostras reais, como apresentada na Equação 3, onde  $D(y \mid x)$  é a probabilidade de  $x$  pertencer a uma das  $N$  classes reais.

$$L_{\text{multiclasse}} = -\mathbb{E}_{(x,y) \sim p_{\text{dados}}} \log D(y \mid x) \quad (3)$$

De outro modo, o gerador  $G$  é treinado para maximizar a probabilidade de o discriminador classificar as amostras geradas como reais, o que é expresso na Equação 4, onde  $z$  é uma amostra de ruído latente usada pelo gerador para criar uma nova amostra  $G(z)$ . Isso

permite que o discriminador aprenda tanto a distinguir entre dados reais e falsos quanto a classificar dados reais nas classes corretas, aproveitando tanto os dados rotulados quanto os não rotulados para melhorar a eficácia em tarefas semi-supervisionadas.

$$L_G = -\mathbb{E}_{z \sim p(z)} \log D(y = \text{real} \mid G(z)) \quad (4)$$

### 2.3. Aprendizado de Máquina Quântico

O Aprendizado de Máquina Quântico busca interligar as áreas de Inteligência Artificial e Computação Quântica [Biamonte et al. 2017]. Esse campo emergente explora como algoritmos quânticos podem ser aplicados a problemas típicos de Aprendizado de Máquina, oferecendo, em potencial, vantagens em eficiência e desempenho.

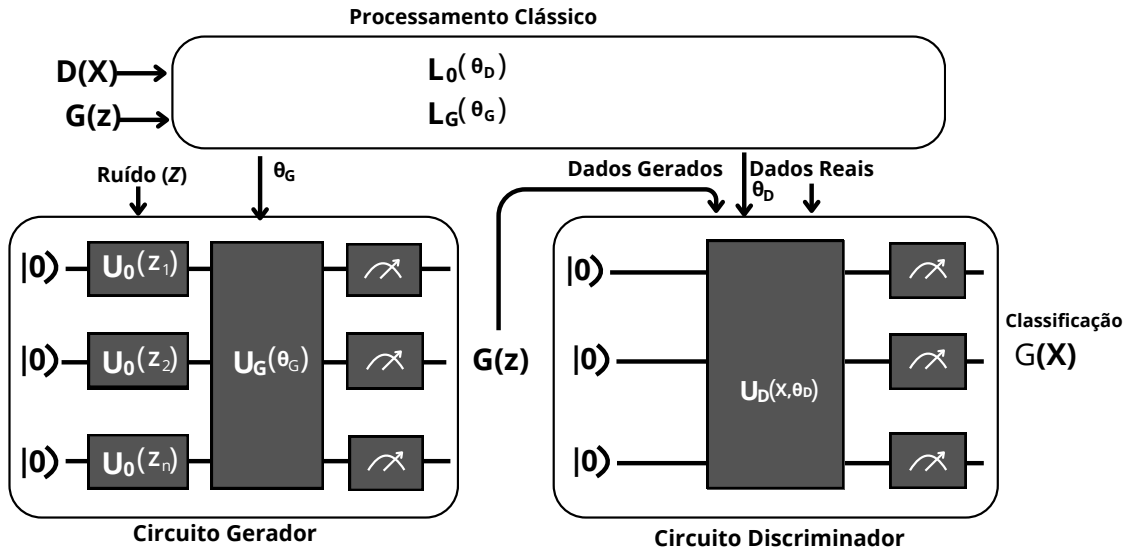
Nesse contexto, as técnicas híbridas têm se destacado, pois combinam a capacidade de processamento quântico com a computação clássica. Essa abordagem se deve, em parte, às limitações dos computadores quânticos atuais, conhecidos como dispositivos NISQ (*Noisy Intermediate-Scale Quantum*). Os dispositivos NISQ possuem restrições relacionadas ao número de qubits (bits quânticos que utilizam o espaço de Hilbert), ao número de operações realizáveis (como portas lógicas quânticas) e ao tempo em que as propriedades quânticas, como superposição e entrelaçamento, podem ser mantidas. Além disso, há limitações na profundidade dos circuitos quânticos, ou seja, no número de operações consecutivas que podem ser realizadas antes que o ruído comprometa os resultados. Uma discussão mais aprofundada sobre essas limitações pode ser encontrada em [Wang and Liu 2024].

As técnicas híbridas utilizam circuitos parametrizados (circuitos variacionais), que são compostos por portas quânticas cujos parâmetros são ajustáveis. Durante o treinamento, esses parâmetros são otimizados utilizando algoritmos clássicos de Aprendizado de Máquina, como métodos baseados em gradiente. O processo funciona da seguinte maneira: a entrada, que pode consistir em dados clássicos ou quânticos, é processada por um circuito quântico parametrizado que aplica operações quânticas (portas lógicas) nos qubits. Em seguida, o estado final do circuito é medido, e as medições resultam em saídas clássicas. Essas saídas são então avaliadas por meio de uma função de perda, a qual serve como critério para ajuste dos parâmetros do circuito. A otimização é conduzida iterativamente por um algoritmo clássico, buscando que o modelo alcance um desempenho aprimorado ao longo do treinamento [Abreu et al. 2024b].

### 2.4. Redes Adversariais Quânticas

As Redes Generativas Adversariais Quânticas são uma extensão das GANs tradicionais que integram circuitos quânticos para aprimorar o desempenho em tarefas de geração e discriminação de dados [Boyle and Nikandish 2024]. A arquitetura híbrida quântico-clássica, como ilustrado na Figura 1, utiliza um gerador e um discriminador quânticos, onde o gerador  $G$  recebe um ruído e o transforma em estados quânticos representativos da distribuição de dados, enquanto o discriminador  $D$  distingue amostras geradas de amostras reais, executando a tarefa de classificação de real/falso.

O gerador quântico  $G$  é composto por uma Rede Neural Quântica que utiliza circuitos quânticos variacionais para gerar amostras sintéticas. Esse processo envolve dois operadores unitários:  $U_0(z_i)$ , que mapeia o vetor de ruído  $z$  para o espaço de Hilbert do



**Figura 1. Rede Adversária Híbrida, com gerador e discriminador quântico e otimizador clássico.**

sistema quântico, e  $U_G(\theta_G)$ , que é controlado por parâmetros treináveis  $\theta_G$ . Esses operadores, combinados com medições, produzem amostras geradas  $G(z)$  que são enviadas ao discriminador para avaliação.

O discriminador quântico  $D$  também é uma rede neural quântica parametrizada, composta pelo operador  $U_D(x, \theta_D)$ , onde  $x$  é a entrada (amostra real ou gerada) e  $\theta_D$  são os parâmetros treináveis. O discriminador mede o estado quântico resultante e atribui uma classificação de real ou falso com base na expectativa de um observável, que é escalado para fornecer uma saída entre 0 e 1.

Para treinar essa rede adversarial, o processo de otimização clássico realiza a atualização dos parâmetros  $\theta_G$  e  $\theta_D$  através de uma função de perda, como na Equação 2, minimizada por gradiente descendente. Essa perda é reduzida conforme o discriminador melhora sua capacidade de distinguir entre amostras reais e geradas. Já o gerador é treinado para enganar o discriminador, maximizando a probabilidade de  $D(G(z))$  classificar suas amostras como reais, como na Equação 4. Essa arquitetura híbrida quântico-clássica permite explorar a representação dos circuitos quânticos para capturar padrões complexos nos dados. A modularidade da abordagem permite ajustar a profundidade dos circuitos e a complexidade do modelo para otimizar o desempenho em computadores quânticos NISQ.

### 3. Trabalhos Relacionados

Vários trabalhos recentes têm explorado o uso de Aprendizado de Máquina para segurança cibernética, com ênfase na detecção de anomalias e intrusões em redes complexas. Entre essas abordagens, destacam-se as GAN aplicadas para identificar intrusões através da geração e detecção de padrões anômalos em dados de rede [de Araujo-Filho et al. 2023].

No contexto do Aprendizado de Máquina Quântico, Huang et al. [Huang et al. 2021] demonstra experimentalmente o uso de GANs quânticas para

geração de imagens em dispositivos NISQ. A proposta utiliza a estratégia de quantum *patch*, que permite a geração de partes menores de dados (*patches*) através de múltiplos sub-geradores, em contraste com um único gerador (*batch*). Isso viabiliza a modelagem de distribuições de alta dimensionalidade, mesmo com recursos quânticos limitados. Além disso, os autores exploram o uso de circuitos parametrizados e técnicas de medição para transformar os dados latentes em distribuições de probabilidades, mostrando a eficácia dessa abordagem em tarefas de aprendizado gerativo. Assim, neste trabalho, as abordagens de *patch* e *batch* são utilizadas na arquitetura geradora e integradas no sQGAN.

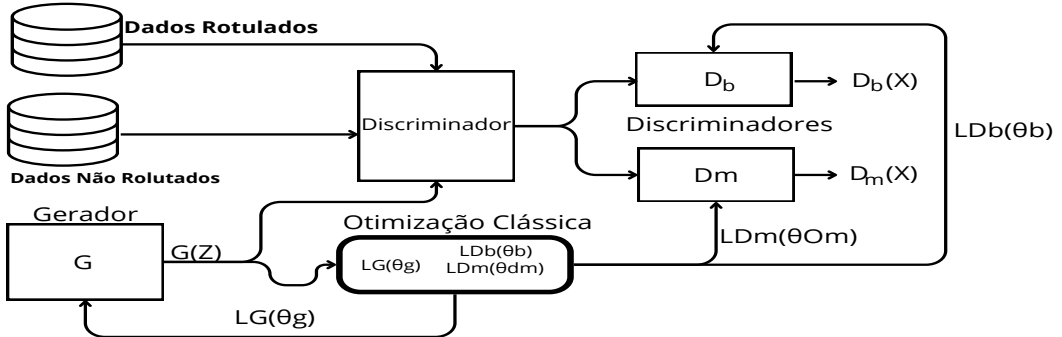
Além disso, Boyle e Nikandish [Boyle and Nikandish 2024] apresentam um estudo de arquiteturas híbridas quântico-clássica de GANs projetadas especificamente para dispositivos NISQ. A proposta combina geradores e discriminadores baseados em circuitos variacionais parametrizados, destacando uma abordagem modular que equilibra a profundidade dos circuitos com a precisão do modelo. Em particular, os autores exploram diferentes arquiteturas de discriminadores para tarefas de classificação, utilizando múltiplas camadas de circuitos treináveis para distinguir entre dados reais e gerados, o que se mostrou eficiente na detecção de padrões complexos. No trabalho proposto neste artigo, as arquiteturas propostas por Boyle e Nikandish são integradas em uma GAN semi-supervisionada.

Nakaji e Yamamoto [Nakaji and Yamamoto 2021] introduzem uma rede adversária quântica semi-supervisionada com um gerador quântico e um discriminador clássico, destacando a robustez contra ruídos e a alta expressividade dos sistemas quânticos. Os autores demonstram que o gerador quântico, devido à sua alta expressividade, pode atuar como um adversário mais forte do que os geradores clássicos, contribuindo para um discriminador que obtém alta precisão de classificação. Demonstrando o potencial das GANs semi-supervisionada. Em contraste, a proposta apresentada neste artigo integra geradores e discriminadores quânticos, atribuindo a computação clássica apenas a otimização dos circuitos variacionais.

Portanto, a proposta deste trabalho distingue-se ao combinar aspectos complementares dessas abordagens. Foi empregada uma arquitetura semi-supervisionada, inspirada no modelo de GAN proposto por Odena [Odena 2016], aliada à estratégia de *patch*, conforme apresentada por Huang et al. [Huang et al. 2021]. Além disso, foram utilizadas duas das arquiteturas de circuitos discriminadores exploradas por Boyle e Nikandish [Boyle and Nikandish 2024] para realizar a detecção e classificação de ataques. Essa combinação possibilita a geração de padrões de tráfego de rede e a identificação de ataques em cenários com dados rotulados e não rotulados.

#### **4. sQGAN: Rede Geneartiva Adversarial Quântica Semi Supervisionada**

Nesta seção, é apresentada a sQGAN, uma Rede Generativa Adversarial Quântica Semi-Supervisionada, que combina os circuitos quânticos com uma arquitetura semi-supervisionada para a detecção de ataques. A sQGAN é uma GAN quântica híbrida, em que o treinamento e a otimização dos parâmetros são realizados em um computador clássico. Essa abordagem possibilita o uso de técnicas quânticas para a geração e classificação de dados, enquanto se aproveita a métodos clássicos de otimização para atualizar os parâmetros da rede.



**Figura 2. sQGAN- Arquitetura Semi Supervisionada.**

#### 4.1. Arquitetura do sQGAN

A sQGAN é estruturada em uma arquitetura semi-supervisionada, conforme ilustrado na Figura 2, o que permite que o modelo aprenda tanto com dados rotulados quanto com dados não rotulados. No gerador quântico, um ruído gaussiano é mapeado para o espaço de Hilbert, criando amostras sintéticas que se assemelham aos dados reais. O discriminador quântico é projetado para realizar duas tarefas de classificação: uma binária e outra multiclasse. O discriminador binário distingue entre amostras reais e geradas (falsas), representando o tráfego normal e o tráfego de ataque, respectivamente.

Conforme ilustrado na Figura 2, o modelo é composto por um gerador ( $G$ ) e dois discriminadores ( $D_b$  e  $D_m$ ). O gerador utiliza o vetor de ruído  $Z$  para criar amostras sintéticas que são enviadas aos discriminadores. O discriminador binário ( $D_b$ ) realiza a tarefa de distinguir entre amostras reais e geradas, enquanto o discriminador multiclasse ( $D_m$ ) classifica as amostras reais em categorias específicas, como tráfego normal e diferentes tipos de ataques.

A função de perda do modelo é composta por três componentes principais. A primeira,  $LG$ , otimiza o gerador  $G$  para melhorar a qualidade das amostras geradas. A segunda,  $LDb$ , treina o discriminador binário  $D_b$  para diferenciar entre amostras reais e geradas. Por fim, a terceira,  $LDm$ , treina o discriminador multiclasse  $D_m$  para categorizar corretamente as amostras reais.

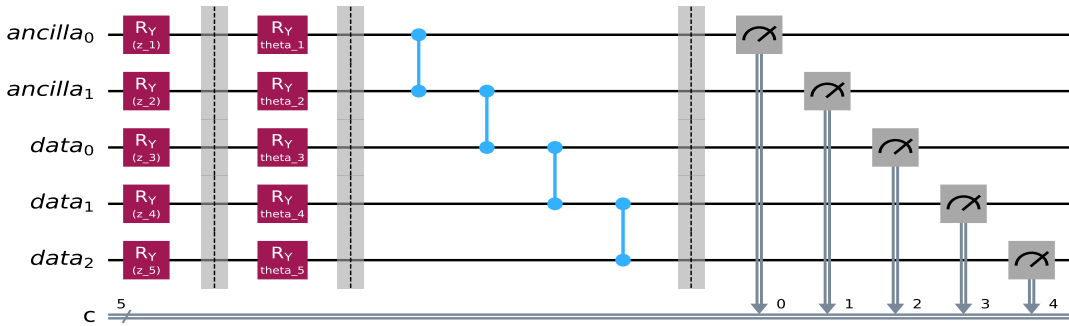
O processo de otimização é conduzido em um computador clássico, que é responsável por ajustar os parâmetros  $\theta_G$ ,  $\theta_{D_b}$  e  $\theta_{D_m}$ . Esses parâmetros são utilizados para atualizar os circuitos variacionais do gerador e dos discriminadores, que são executados em um computador quântico. Durante o treinamento, o computador clássico avalia as funções de perda e otimiza iterativamente os  $\theta$  utilizando métodos baseados em gradiente. Esses valores são então enviados ao computador quântico, onde os circuitos variacionais são atualizados e utilizados para gerar ou discriminar amostras de dados.

Essa estrutura modular permite que o modelo aprenda uma representação robusta das características dos dados, utilizando tanto os dados rotulados quanto os não rotulados para ajustar os seus parâmetros. A abordagem híbrida quântico-clássica, como destacado na Figura 2, possibilita que o treinamento e a otimização sejam conduzidos em uma infraestrutura clássica, enquanto os circuitos quânticos realizam a geração e classificação dos dados com alto grau de precisão.

## 4.2. Arquitetura Generativa

Na abordagem proposta, o gerador quântico segue a estratégia de *Patch* [Huang et al. 2021], em que a geração de amostras ocorre através de uma estrutura de sub-geradores  $G_i$ . Cada sub-gerador  $G_i$  é uma rede parametrizada que transforma o ruído de entrada  $z$  em uma parte específica das características do dado final. Essa abordagem, é particularmente vantajosa no contexto quântico, pois permite o uso eficiente de recursos limitados em dispositivos NISQ. Ao dividir o gerador em múltiplos sub-geradores, a estratégia de *Patch* explora a modularidade dos circuitos quânticos, possibilitando que mesmo dispositivos com poucos qubits e circuitos de baixa profundidade possam ser utilizados de maneira eficaz. As saídas geradas por cada sub-gerador são combinadas para reconstruir a amostra completa, possibilitando a representação de distribuições complexas com maior flexibilidade e adaptabilidade. A proposta também pode ser implementada utilizando a estratégia *Batch*, em que o gerador é projetado como um único circuito parametrizado responsável por gerar a amostra sintética completa em uma única iteração.

A arquitetura do circuito gerador é apresentada na Figura 3, e segue a abordagem proposta por Huang et al. 2021 [Huang et al. 2021]. O Circuito pode ser dividido em quatro etapas principais: incorporação dos estados (*state embedding*), camadas parametrizadas, transformação não-linear e pós-processamento.



**Figura 3. Arquitetura Geradora adaptada de Huang et al. 2021.**

Na etapa de *state embedding*, um vetor latente  $z \in \mathbb{R}^N$  é amostrado no intervalo  $[0, \pi/2)$ . O mesmo vetor latente é fornecido a todos os sub-geradores, sendo incorporado ao sistema através de portas  $R_Y$ , como mostrado na primeira seção do circuito da Figura 3. Em seguida, são aplicadas as camadas parametrizadas compostas por portas  $R_Y$  com parâmetros treináveis  $\theta$ , seguidas por portas  $CZ$  de controle, responsáveis por introduzir o entrelaçamento entre os qubits.

Após as camadas parametrizadas, ocorre a transformação não-linear, viabilizada pela utilização de qubits adicionais (qubits adicionais, que não representam dados de entrada clássica). O estado quântico ( $|\Psi(z)\rangle$ ) gerado pelo circuito, antes da medição, é descrito na Equação 5 onde  $U_G(\theta)$  representa a operação unitária aplicada às camadas parametrizadas.

$$|\Psi(z)\rangle = U_G(\theta)|z\rangle \quad (5)$$

Para introduzir não-linearidade, é feita uma medição parcial no subsistema ancilar, representada por  $\Pi$ . O estado resultante nos qubits restantes é apresentado na Equação 6, onde  $\text{Tr}_A$  indica o traço parcial sobre os qubits anciliares.

$$\rho(z) = \text{Tr}_A \left( \frac{\Pi \otimes I |\Psi(z)\rangle\langle\Psi(z)|}{\langle\Psi(z)|\Pi \otimes I |\Psi(z)\rangle} \right) \quad (6)$$

Esse procedimento resulta em um estado misto  $\rho(z)$ , cuja dependência do vetor latente  $z$  está presente tanto no numerador quanto no denominador. Essa característica garante que a transformação realizada no sistema seja não-linear. A partir do estado resultante  $\rho(z)$ , são feitas medições nos qubits de dados restantes em todas as bases computacionais  $j$ . As probabilidades  $P(j)$  associadas a cada base representam as amplitudes do estado  $\rho(z)$  no espaço de Hilbert. A saída do sub-gerador  $G^{(i)}$  é definida como o vetor de probabilidades de medição, apresentado na Equação 7 onde  $P(j)$  é a probabilidade de medir o estado  $j$  nos qubits de dados.

$$G^{(i)} = [P(0), P(1), \dots, P(2^{N-N_A} - 1)] \quad (7)$$

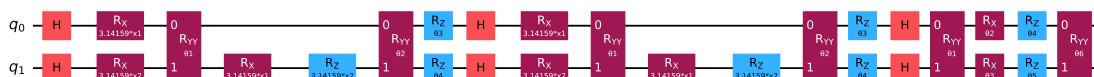
A saída  $G^{(i)}$  corresponde, portanto, à projeção das amplitudes de  $\rho(z)$  no espaço computacional, convertendo a informação do vetor latente  $z$  em uma distribuição de probabilidades. Esse procedimento estabelece uma ponte entre o vetor latente clássico e a saída quântica gerada, permitindo que o sistema gerativo capture características complexas e não-lineares dos dados.

### 4.3. Arquitetura Discriminativa

O papel do discriminador na sQGAN é duplo: distinguir entre amostras reais e geradas (classificação binária) e categorizar as amostras reais em normais ou em diferentes tipos de ataques (classificação multiclasse). Conforme ilustrado na Figura 2, a abordagem utiliza dois discriminadores distintos, mas com a mesma arquitetura subjacente: um responsável pela **classificação binária** e outro pela **classificação multiclasse**. Essa estratégia permite que a mesma arquitetura seja aplicada de maneira flexível a ambas as tarefas. A Figura 4 apresenta as arquiteturas dos circuitos discriminadores, baseadas nas arquiteturas exploradas por Boyle e Nikandish 2024 [Boyle and Nikandish 2024].



(a) Circuito Discriminador de Arquitetura 1 (Arq.1).



(b) Circuito Discriminador de Arquitetura 2 (Arq.2).

**Figura 4. Arquiteturas dos Circuitos Discriminadores.**

As arquiteturas dos circuitos discriminadores, apresentadas na Figura 4, combinam sub-circuitos variacionais com parâmetros ajustáveis por um otimizador clássico. Ambas as arquiteturas incluem portas de rotação  $RX$  e  $RZ$ , responsáveis por manipular as amplitudes dos qubits, além de portas de entrelaçamento, como  $RYY$  e  $RXX$ . Enquanto a **Arquitetura 1** utiliza portas  $RYY$  e  $RXX$  para promover o entrelaçamento entre os qubits, a **Arquitetura 2** emprega exclusivamente portas  $RYY$ . Uma discussão extensiva dessas arquiteturas é encontrada em Boyle e Nikandish 2024 [Boyle and Nikandish 2024].

#### 4.4. Detecção de Ataques com o sQGAN

A detecção de ataques utilizando o sQGAN se baseia em uma arquitetura semi-supervisionada que explora a combinação de dados rotulados e não rotulados. O gerador, estruturado segundo a estratégia de *patch*, cria amostras sintéticas que imitam o tráfego normal da rede. Essa estratégia modular, implementada com múltiplos sub-geradores, permite uma divisão das características do tráfego em partes menores, permitindo o uso de dispositivos quânticos NISQ. O discriminador binário, por sua vez, é responsável por distinguir entre amostras reais (tráfego legítimo) e amostras falsas (potenciais ataques), enquanto o discriminador multiclasse classifica as amostras reais entre tráfego normal e diferentes categorias de ataques. Ambas as tarefas são executadas usando circuitos discriminadores com arquiteturas parametrizadas, que integram sub-circuitos variacionais ajustados por otimizadores clássicos.

A abordagem híbrida quântico-clássica da sQGAN oferece uma representação robusta e não-linear dos dados, permitindo a captura de padrões complexos presentes no tráfego de rede. O modelo aproveita os circuitos geradores parametrizados para transformar o vetor latente clássico em estados quânticos, cujas medições produzem distribuições de probabilidade que representam as características dos dados gerados. Com isso, o sQGAN apresenta potencial para lidar com cenários desafiadores, onde os dados rotulados são escassos, aprimorando a detecção de anomalias e ataques em sistemas de segurança cibernética.

### 5. Estudo de Caso

Para avaliar o desempenho do modelo sQGAN, são utilizadas as bases de dados NRC-IoMT24 e NRC-ACI-IOT23 [Sasi et al. 2024]. As bases IoMT24 [Dadkhah et al. 2024] e IOT23 [Bastian et al. 2023], amplamente reconhecidas para detecção de intrusões em redes IoT, incluem uma combinação de tráfego de rede normal e ataques diversos, como DDoS, DoS, *Spoofing*, Reconhecimento, MITM e Força Bruta. Neste trabalho, utilizam-se as versões modificadas das bases, conforme proposto por Sasi et al. (2024). Essas versões apresentam aprimoramentos significativos, incluindo a extração de mais características de fluxo de rede, adição de valores ausentes em colunas e correção de erros existentes nas bases originais. Para o estudo de caso, foram selecionadas as 10 melhores características para cada base de dados, de acordo com o apresentado em Sasi et al. (2024).

As bases modificadas são divididas em conjuntos de dados rotulados e não rotulados, com percentuais de dados rotulados variando entre 10%, 20% e 30%. Essa organização permite avaliar o impacto da quantidade de dados rotulados no desempenho

do modelo em um cenário semi-supervisionado, no qual o sQGAN aprende a partir de informações limitadas.

O experimento foi configurado para treinar e testar, considerando a natureza híbrida quântica-clássica do modelo. Na etapa de pré-processamento, os dados de entrada foram normalizados e divididos em amostras rotuladas e não rotuladas. No treinamento do gerador e discriminador, o gerador foi configurado para operar em duas estratégias: *Patch*, com quatro sub-geradores independentes, e *Batch*, com apenas um gerador responsável pela geração completa. Os discriminadores foram implementados utilizando as duas arquiteturas (arq.1 e arq.2) apresentadas na Seção 4. Após o treinamento, o modelo foi avaliado em um conjunto de dados de teste, e o F1 Score, foi coletado para cada configuração. A arquitetura do modelo sQGAN foi implementada utilizando o *framework* IBM Qiskit<sup>1</sup>. O backend `ibm_sherbrooke` foi utilizado como dispositivo quântico devido ao seu baixo nível de ruído em comparação com os outros dispositivos disponíveis na plataforma IBM Quantum. O otimizador clássico usado foi o SGD (*Stochastic Gradient Descent*) assim como em [Boyle and Nikandish 2024] e [Huang et al. 2021].

## 6. Resultados

Nesta seção, são apresentados e discutidos os resultados obtidos pela sQGAN na detecção e classificação de ataques, utilizando diferentes configurações de geradores e discriminadores. O desempenho é avaliado tanto para análise binária (real/falso) quanto para classificação multiclasse dos diferentes tipos de ataques presentes nas bases de dados NRC-IoMT24 e NRC-ACI-IOT23.

### 6.1. Resultados da Detecção do Ataque (Análise Binária)

Na Tabela 1, são apresentados os resultados da detecção de ataques na base de dados NRC-IoMT24 para análise binária, utilizando o F1 Score como métrica de desempenho. Observa-se que o gerador com a abordagem *Patch*, combinado com o discriminador de arquitetura 1 (Arq.1), apresenta o melhor desempenho em todas as porcentagens de dados rotulados (10%, 20% e 30%), atingindo um F1 Score de até 94.55% com 30% de dados rotulados. Em comparação, a abordagem *Batch* do gerador mostrou-se menos eficaz, especialmente quando combinada com o discriminador de arquitetura 2 (Arq.2), alcançando um F1 Score máximo de 88.11%.

Na Tabela 2, os resultados para a base de dados NRC-ACI-IOT23 seguem uma tendência similar. A configuração *Patch* com o discriminador Arq.1 também obteve os melhores resultados, atingindo um F1 Score de 89.59% com 30% de dados rotulados. Em contraste, a configuração *Batch* do gerador e o discriminador Arq.2 apresentaram desempenhos inferiores, confirmando a eficácia superior da estratégia *Patch* combinada com o discriminador Arq.1 na detecção binária de ataques.

### 6.2. Resultados da Detecção do Ataque (Análise Multiclasse)

Os resultados apresentados a seguir utilizam exclusivamente a rede Geradora com *Patch* e o Discriminador Arquitetura 1 (Arq. 1), pois essa configuração apresentou os melhores resultados na análise binária. Na Tabela 3, são exibidos os resultados de classificação de diferentes tipos de ataques na base de dados NRC-IoMT24 para a análise multiclasse.

---

<sup>1</sup><https://www.ibm.com/quantum/qiskit>

**Tabela 1. Detecção de Ataques (Binário) na base de dados NRC-IoMT24. (Métrica: F1 Score).**

Gerador	Discriminador	10%	20%	30%
Batch	Arq.1	$85.47 \pm 0.51$	$87.23 \pm 0.48$	$91.82 \pm 0.59$
Batch	Arq.2	$81.69 \pm 0.36$	$86.45 \pm 0.54$	$88.11 \pm 0.40$
Patch	Arq.1	<b><math>90.22 \pm 0.46</math></b>	<b><math>93.04 \pm 0.37</math></b>	<b><math>94.55 \pm 0.41</math></b>
Patch	Arq.2	$87.36 \pm 0.60$	$89.78 \pm 0.53$	$92.14 \pm 0.34$

**Tabela 2. Detecção de Ataques (Binário) na base de dados NRC-ACI-IOT23. (Métrica: F1 Score).**

Gerador	Discriminador	10%	20%	30%
Batch	Arq.1	$80.13 \pm 0.45$	$81.76 \pm 0.52$	$82.34 \pm 0.48$
Batch	Arq.2	$80.29 \pm 0.50$	$81.58 \pm 0.47$	$82.63 \pm 0.42$
Patch	Arq.1	<b><math>86.72 \pm 0.44</math></b>	<b><math>88.34 \pm 0.39</math></b>	<b><math>89.59 \pm 0.37</math></b>
Patch	Arq.2	$84.21 \pm 0.46$	$86.77 \pm 0.53$	$88.12 \pm 0.40$

Observa-se que o modelo obteve valores elevados de F1 Score para ataques como DDoS e DoS, atingindo até 97.18% e 95.12% com 30% de dados rotulados, respectivamente. Por outro lado, ataques como *Spoofing* e MQTT apresentaram valores mais baixos, sugerindo que esses tipos de ataque são mais desafiadores para detecção.

Na Tabela 4, os resultados de classificação na base de dados NRC-ACI-IOT23 mostram que o modelo obteve F1 Score mais elevado para ataques como *Reconnaissance* e DoS, chegando a 88.12% e 86.14% com 30% de dados rotulados. Em comparação, os ataques MITM e *Brute Force* apresentaram desempenho ligeiramente inferior, mas ainda em níveis satisfatórios para a detecção de ataques em redes IoT. Esses resultados confirmam a eficácia do modelo sQGAN, com a configuração Geradora *Patch* e Arquitetura 1, na tarefa de classificação multiclasse. A abordagem se mostra particularmente eficaz na detecção de ataques como DDoS e *Reconnaissance*.

**Tabela 3. Classificação de Ataques (Multiclasse) na base de dados NRC-IoMT24. (Métrica: F1 Score).**

Ataque	10%	20%	30%
DDoS	$92.15 \pm 0.21$	$95.43 \pm 0.33$	<b><math>97.18 \pm 0.27</math></b>
DoS	$89.24 \pm 0.30$	$92.57 \pm 0.19$	<b><math>95.12 \pm 0.24</math></b>
Recon	$78.42 \pm 0.28$	$79.34 \pm 0.25$	$85.29 \pm 0.18$
Spoofing	$65.73 \pm 0.22$	$73.16 \pm 0.27$	$78.41 \pm 0.31$
MQTT	$76.89 \pm 0.29$	$79.08 \pm 0.15$	$84.54 \pm 0.23$

## 7. Conclusão e Trabalhos Futuros

A sQGAN demonstrou-se uma abordagem eficaz para a detecção e classificação de ataques cibernéticos em cenários com dados rotulados limitados. Os resultados obtidos evidenciam que a arquitetura híbrida quântico-clássica, combinada com a estratégia de patch no gerador e o discriminador de Arquitetura 1, alcança alto desempenho em tarefas de detecção binária e classificação multiclasse. Em particular, foram registrados F1 scores

**Tabela 4. Classificação de Ataques (Multiclasse) na base de dados NRC-ACI-IOT23. (Métrica: F1 Score).**

Ataque	10%	20%	30%
Reconnaissance	$84.21 \pm 0.24$	$86.67 \pm 0.18$	<b><math>88.12 \pm 0.29</math></b>
DoS	$83.35 \pm 0.30$	$84.58 \pm 0.21$	<b><math>86.14 \pm 0.33</math></b>
MITM	$81.42 \pm 0.27$	$82.73 \pm 0.14$	$86.29 \pm 0.19$
Brute Force	$82.58 \pm 0.25$	$84.12 \pm 0.32$	$86.88 \pm 0.23$

superiores a 97% para ataques como DDoS na base de dados NRC-IoMT24 e aproximadamente 89% para *Reconnaissance* na base NRC-ACI-IOT23.

Assim, a proposta revelou-se robusta na análise binária e multiclasse, conseguindo diferenciar tráfego legítimo e tipos variados de ataques, oferecendo uma capacidade avançada de detecção em condições adversas de rotulagem. No entanto, limitações como a pouca disponibilidade de infraestrutura quântica atual, os desafios na integração com sistemas legados e a alta complexidade de implementação podem reduzir a escalabilidade da solução em ambientes com alta dimensionalidade no curto prazo. Além disso, a dependência de dados rotulados, ainda que mínima, restringe sua aplicabilidade em contextos com ausência completa de rótulos. Outra limitação refere-se ao consumo computacional do treinamento híbrido, que pode ser um entrave em ambientes com recursos computacionais limitados e com requisitos de baixa latência.

Essas considerações destacam a relevância da sQGAN para detecção de ataques em segurança cibernética e apontam para a necessidade de futuras pesquisas para ampliar sua aplicabilidade e robustez. Assim, como trabalhos futuros, sugere-se explorar a integração de técnicas de detecção de ataques clássicas, e investigar abordagens para reduzir o custo computacional associado ao treinamento híbrido. Ademais, estudos futuros poderiam focar na adaptação da sQGAN a arquiteturas quânticas emergentes, otimizando seu desempenho em ambientes de alta dimensionalidade e explorando a aplicação em novos cenários de ameaças.

## Agradecimentos

Este trabalho foi parcialmente financiado pelo Conselho Nacional de Desenvolvimento Científico e Tecnológico (CNPq), pela Fundação Coordenação de Aperfeiçoamento de Pessoal de Nível Superior (CAPES), e pela Fundação de Amparo à Pesquisa do Estado de São Paulo (FAPESP) projeto 2023/00811-0, projeto 2023/00673-7, projeto 2021/00199-8 (CPE SMARTNESS), projeto 2020/04031-1, e projeto 2018/23097-3.

## Referências

- Abreu, D., Rothenberg, C., and Abelém, A. (2024a). qids: Sistema de detecção de ataques baseado em aprendizado de máquina quântico híbrido. In *Anais do XLII Simpósio Brasileiro de Redes de Computadores e Sistemas Distribuídos*, pages 295–308, Porto Alegre, RS, Brasil. SBC.
- Abreu, D., Rothenberg, C. E., and Abelém, A. (2024b). Qml-ids: Quantum machine learning intrusion detection system. In *2024 IEEE Symposium on Computers and Communications (ISCC)*, pages 1–6. IEEE.

- Bastian, N., Bierbrauer, D., McKenzie, M., and Nack, E. (2023). Aci iot network traffic dataset 2023.
- Biamonte, J., Wittek, P., Pancotti, N., Rebentrost, P., Wiebe, N., and Lloyd, S. (2017). Quantum machine learning. *Nature*, 549(7671):195–202.
- Boyle, A. O. and Nikandish, R. (2024). A hybrid quantum-classical generative adversarial network for near-term quantum processors. *IEEE Access*.
- Dadkhah, S., Neto, E. C. P., Ferreira, R., Molokwu, R. C., Sadeghi, S., and Ghorbani, A. A. (2024). Ciciomt2024: A benchmark dataset for multi-protocol security assessment in iomt. *Internet of Things*, 28:101351.
- de Araujo-Filho, P. F., Naili, M., Kaddoum, G., Fapi, E. T., and Zhu, Z. (2023). Unsupervised gan-based intrusion detection system using temporal convolutional networks and self-attention. *IEEE Transactions on Network and Service Management*, 20(4):4951–4963.
- Huang, H.-L., Du, Y., Gong, M., Zhao, Y., Wu, Y., Wang, C., Li, S., Liang, F., Lin, J., Xu, Y., et al. (2021). Experimental quantum generative adversarial networks for image generation. *Physical Review Applied*, 16(2):024051.
- Idhammad, M., Afdel, K., and Belouch, M. (2018). Semi-supervised machine learning approach for ddos detection. *Applied Intelligence*, 48:3193–3208.
- Lim, W., Chek, K. Y. S., Theng, L. B., and Lin, C. T. C. (2024). Future of generative adversarial networks (gan) for anomaly detection in network security: A review. *Computers & Security*, page 103733.
- Mvula, P. K., Branco, P., Jourdan, G.-V., and Viktor, H. L. (2023). A systematic literature review of cyber-security data repositories and performance assessment metrics for semi-supervised learning. *Discover Data*, 1(1):4.
- Nakaji, K. and Yamamoto, N. (2021). Quantum semi-supervised generative adversarial network for enhanced data classification. *Scientific reports*, 11(1):19649.
- Nicesio, O. K., Leal, A. G., and Gava, V. L. (2023). Quantum machine learning for network intrusion detection systems, a systematic literature review. In *2023 IEEE 2nd International Conference on AI in Cybersecurity (ICAIC)*, pages 1–6. IEEE.
- Odena, A. (2016). Semi-supervised learning with generative adversarial networks. *arXiv preprint arXiv:1606.01583*.
- Sajun, A. R. and Zualkernan, I. (2022). Survey on implementations of generative adversarial networks for semi-supervised learning. *Applied Sciences*, 12(3):1718.
- Sasi, T., Lashkari, A. H., Lu, R., Xiong, P., and Iqbal, S. (2024). An efficient self attention-based 1d-cnn-lstm network for iot attack detection and identification using network traffic. *Journal of Information and Intelligence*.
- Wang, Y. and Liu, J. (2024). A comprehensive review of quantum machine learning: from nisq to fault tolerance. *Reports on Progress in Physics*.
- Yang, X., Song, Z., King, I., and Xu, Z. (2022). A survey on deep semi-supervised learning. *IEEE Transactions on Knowledge and Data Engineering*, 35(9):8934–8954.